

Coccidioidomicosis diseminada en un canino

Canino, raza Bóxer, macho, de 2 años y 10 meses de edad, oriundo de Catamarca, con antecedentes de tratamiento con antibióticos y corticoide por un cuadro pulmonar luego de permanecer en zona suburbana de la capital de Catamarca. Al momento de la consulta presentaba pérdida de peso, tos, disnea, hipertermia, claudicación, lesiones plantares ulceradas, adenopatías submaxilar y poplítea. La radiografía de pulmón reveló neumonitis con patrón intersticial y los análisis de laboratorio leucocitosis con neutrofilia e hiperglobulinemia. El estudio histopatológico de las lesiones dérmicas indicaba granuloma histiocitario subepidérmico con elementos compatibles con *Coccidioides* sp. Se inició el tratamiento con fluconazol y al quinto día se rotó a itraconazol 100 mg/día. El animal debió ser sacrificado por la gravedad del cuadro clínico y la falta de respuesta al tratamiento. La coccidioidomicosis (CM) fue confirmada por detección de anticuerpos anti-coccidioides en suero, examen directo del ganglio submaxilar aclarado con KOH (Figura 1) y cortes histológicos del ganglio teñidos por inmunohistoquímica (IHQ) (Figuras 2 y 3) (3). En el cultivo desarrolló un hongo de micelio hialino con abundantes artroconidios (Figura 4) identificado como *Coccidioides* sp. por conversión dimórfica en medio de Conver-

se y detección de antígenos extracelulares (2). La CM en caninos presenta un amplio espectro de anomalías respiratorias y musculoesqueléticas, y pocas veces lesiones cutáneas. El diagnóstico diferencial se debe incluir en perros jóvenes con síntomas respiratorios o musculoesqueléticos (osteomielitis) que habitan en el área endémica (1).

BIBLIOGRAFÍA

1. Johnson LR, Herrgesell EJ, Davidson AP, Pappagianis D. Clinical, clinicopathologic, and radiographic findings in dogs with coccidioidomycosis: 24 cases (1995-2000). *J Am Vet Med Assoc* 2003; 222: 461-6.
2. Kwon-Chung KJ, Bennett JE. Coccidioidomycosis. En: Kwon-Chung KJ, Bennett JE, editors. *Medical Mycology*. Philadelphia-London, Lea & Febiger, 1992, p. 356-96.
3. Shi SR, Chaiwun B, Young L, Cote RJ, Taylor CR. Antigen retrieval technique utilizing citrate buffer or urea solution for immunohistochemical demonstration of androgen receptor in formalin fixed sections. *J Histochem Cytochem* 1993; 41: 1599-604.

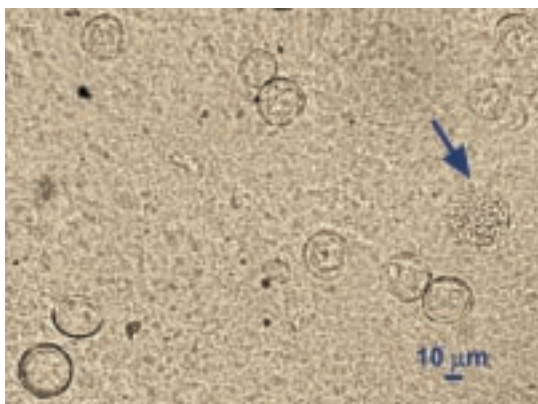


Figura 1. Esferas de diferentes tamaños; se indica una esfera rota liberando las endosporas. KOH 20%, 100X.

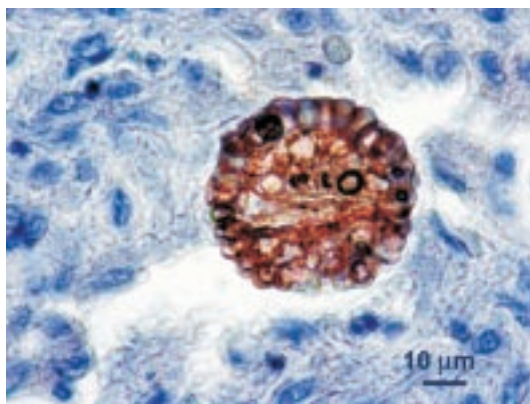


Figura 3. Cúmulo de endosporas liberadas de una esfera. IHQ, 400X.

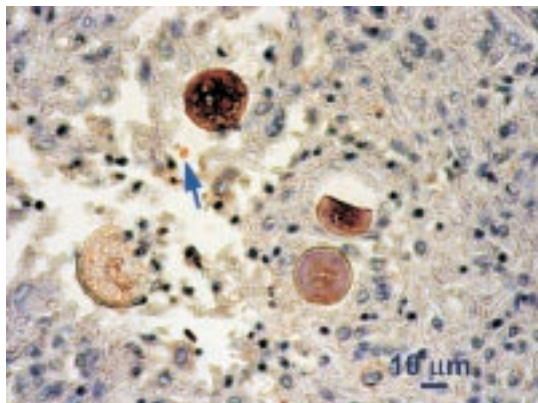


Figura 2. Esferas de diferentes tamaños. A la izquierda se observa una rota y restos de su pared; se indica una endospora liberada. IHQ, 200X.



Figura 4. Cadenas de artroconidios de *Coccidioides* sp. con células vacías intercaladas entre cada conidio. Microcultivo, 21 días en agar extracto de levadura a 28 °C. Montaje con azul de lactofenol, 400X.

J. Iglesias Casal¹, R. O. Suárez Alvarez², W. Lee², M. C. Rivas², G. Davel², C. E. Canteros².
¹Clinica Veterinaria Catamarca, San Fernando del Valle de Catamarca, Catamarca, Argentina;
²Departamento Micología, INEI-ANLIS "Dr. C. G. Malbrán", Av. Vélez Sarsfield 563 (1281), Ciudad Autónoma de Buenos Aires, Argentina.
 E-mail: ccanteros@anlis.gov.ar